

大潟海岸における波浪推算の一例

柿沼忠男*・石田昭**・門司剛至***

1. 緒 言

海岸構造物を設計する場合には、外力としての設計波を決定することが必要になる。海岸構造物は、通常水深20 m程度以下の領域に構築するのが普通であるから、そうした浅海領域における海岸波浪を適確に予知あるいは追算することが要求される。こうした浅海における海岸波浪の推算は、たいていの場合、浅水、屈折、浸透、および海底摩擦の諸効果を沖波の推算値に考慮したBretschneiderの方法¹⁾によって行なわれている。

この論文は、そうした Bretschneider の方法に若干の疑問点があるのを指摘すると同時に、移動性風域に対する沖波の予知法の一つである岩垣一柿沼による修正 Wilson 法²⁾を浅海に拡張した新しい一方法を提案し、大潟海岸における波浪観測値と比較検討したものである。

2. 資料の整理

(1) 海上風の推定

推定しようとする領域は、昭和41年11月下旬～42年1月上旬の日本海側で、北緯35°～45°にあるので、北緯40°に対する海上風と傾度風との間の経験的な関係³⁾、すなわち、海上風の傾度風に対する風向偏角17°、風速比0.67を適用した。使用した天気図は、中型天気図(3時、15時)、日刊天気図(6時)、および極東天気図

(II)(9時、12時、21時)であるが、空気密度としては便宜上、25°Cで950 mbにおける値 $1.3 \times 10^{-3} \text{ gr/cm}^3$ を採用し、傾度風の算定には、北緯40°として Humphrey の数表を用いた。

(2) 波浪実測値

新潟県大潟海岸(北緯37°13'、東経138°19')の水深6～7 mのところに設置されている京都大学防災研究所の階段抵抗式波高計による波浪記録を利用した。図-1は、大潟海岸付近図を示したものであるが、等深線はかなり深いところまで海岸線とほぼ平行に走っていることがわかる。この海岸には、第一人工島といわれる帝国石

図-1 大潟海岸付近図

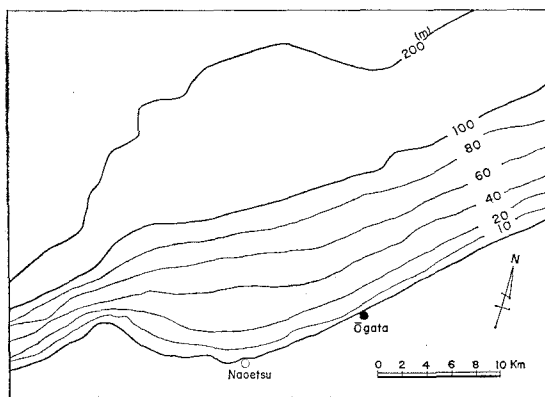


表-1 波浪資料と諸条件

資料 番号	観測日時 (1966年12月)	有義波		スペクトルのピーク				直江津港における風		波向
		$H_{1/3}$ (m)	$T_{1/3}$ (sec)	第1ピーク エネルギー密度 (cm^2/sec)	周波数 (sec^{-1})	第2ピーク エネルギー密度 (cm^2/sec)	周波数 (sec^{-1})	風速 (m/sec)	風向	
1	1日12時	3.33	11.0	1.65×10^6	0.087	3.22×10^4	0.187	12.6	NW	N～WNW
2	1日14時	3.48	10.7	9.91×10^4	0.087	—	—	11.2	NW	NNW
3	10日9時	0.93	6.8	1.24×10^4	0.125	—	—	3.0	SSE	W～NNW
4	10日16時	0.62	6.2	4.34×10^3	0.138	—	—	1.4	ENE	N～WNW
5	14日23時	3.21	7.8	1.02×10^6	0.087	3.66×10^4	0.187	8.8	NW	N～NNE
6	15日5時	2.67	6.9	9.83×10^4	0.100	2.32×10^4	0.175	4.5	NW	WNW
7	15日9時	1.52	7.0	*	*	*	*	1.7	S	*
8	31日18時	1.21	8.8	6.02×10^3	0.125	—	—	3.4	S	NW
9	31日22時	1.10	8.5	5.11×10^3	0.125	6.63×10^3	0.163	4.1	SSW	N～NNW
10	1967年1月1日16時	0.50	6.5	3.86×10^3	0.150	—	—	3.7	SSW	NNW

注 1. 有義波およびスペクトルのピークは観測地点 W-2 における値を示す。

2. * 未解釈。

* 正会員 理修 立命館大学助教授 理工学部

** 正会員 工修 京都大学助手 工学部

*** 学生会員 京都大学大学院 工学研究科

図-2 波高計の配置図

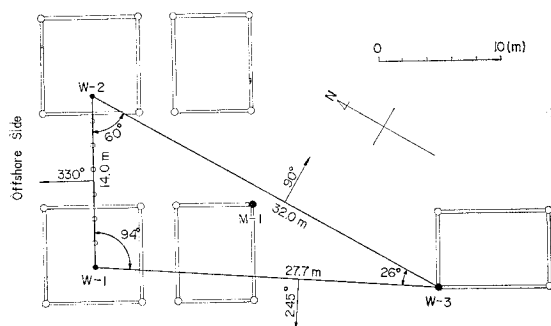
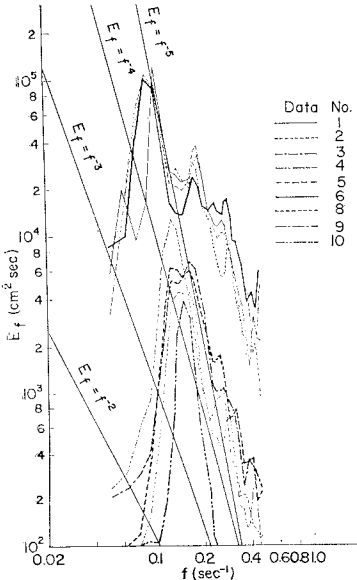


図-3 パワースペクトル



油KKの桟橋がある、その先端付近に、三角形配列をした3台の波高計が設置されている。図-2は、そうした波高計の配置を桟橋の鋼管杭(海面付近の直径565mm)およびストーブ(直径422mm)とともに示したものである。

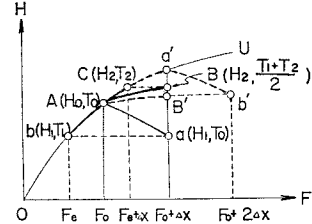
表-1は、この推算に用いた波浪資料と諸条件を示したもので、有義波とともに、パワー スペクトルのピークにおけるエネルギー密度と周波数、波向、および観測地点から約10km離れた直江津港における風の資料が記してある。なお、スペクトル解析は、10分間の波浪記録をデジタル・トレーサOT-50によって1secごとに読みとり、lag 40、自由度ほぼ30とし、Blackman-Tukeyの方法によって、京都大学のデジタル計算機KDC-IIを用いて行なったが、パワー スペクトルの第1ピーク付近の高周波側では、 $E_f \sim f^{-n}$ ($n=3\sim 5$)を得た(図-3)。

3. 波浪推算法

(1) Bretschneiderの方法

図-4 Bretschneiderの方法

図-4は、吹送距離 F_0 までの領域を深海として描いたBretschneiderの方法¹⁾の説明図である。 F_0 まで沖波として発達し、波高 H_0 、周期 T_0 をもつ



た波(点A)に対して、彼は、うねりの浅海での波高減衰を最初にとり入れ、 $A \rightarrow a \rightarrow b \rightarrow C \rightarrow B$ の順序で浅海での風波を推算する方法を提案し、海底摩擦係数の値として0.01が実測値とよく合うことを示した。しかし、もし、図-4中、太い点線で示すように、風による発達を先にとり入れて、 $A \rightarrow a' \rightarrow b' \rightarrow B'$ の順序で推算すれば、波高と周期の値によって発達と減衰の仕方が異なることから、 B' はBと必ずしも一致しないであろう。結局、同一現象において、推算する順序が異なることによって、異なった結果が生ずることになり、しかも、摩擦効果を先にとり入れて推算しなければならない理由はない。また、周期として $(T_1+T_2)/2$ を与えていることも不明確である。

(2) 新しく提案する方法(図-5)

岩垣一柿沼²⁾にしたがって、波の発達状態を規制するものは、エネルギー輸送量であると考え、風と海底摩擦などの効果を同時に考慮する。

図-5 新しく提案する方法

図-5は、吹送距離 F_0 までの領域を深海として描いた新しく提案する方法の説明図である。 F_0 まで沖波として発達し、エネルギー輸送量(C_{GE})_A(このときの波高を H_0 、周期を T_0 とし、点Aで

図-5 新しく提案する方法

示す)をもった波は、 $4x$ 進んだ後に、風速 U によって(C_{GE})_a-(C_{GE})_Aだけ増加して(C_{GE})_a(このときの波高を H_1 、周期を T_1 とし、点aで示す)にまで達する。また同時に、(C_{GE})_Aは海底摩擦など浅海における影響をうけて、(C_{GE})_A-(C_{GE})_bだけ減少して(C_{GE})_b(このときの波高を H_2 、周期を T_0 とし、点bで示す)に達する。以上のことから、吹送距離 F_0+4x における C_{GE} (このときの波高を H 、周期を T とし、点Pで示す)は、次式で与えられる。

$$\begin{aligned} C_{GE} &= (C_{GE})_A + [(C_{GE})_a - (C_{GE})_A] \\ &\quad - [(C_{GE})_A - (C_{GE})_b] \\ &= (C_{GE})_a + (C_{GE})_b - (C_{GE})_A \dots \dots \dots (1) \end{aligned}$$

ここに、 C_{GE} :群速度、 E : $1/8\rho g H_{1/3}^2$ 、 ρ :海水の密度、 g :重力の加速度である。式(1)によって、 F_0+4x における $H_{1/3}$ と $T_{1/3}$ の関係が求まるので、浅海波に対

する Bretschneider の観測結果^{1), 4)}

$$gT_{1/3}/2\pi U = 2.82(gH_{1/3}/U^2)^{0.57}$$

$$(0.01 \leq gh/U^2 \leq 1.0) \dots \dots \dots (2)$$

ここに、 U ：風速、 h ：水深、を併用することによって、点 P の有義波高と有義波周期を算定する。

4. 波浪の推算結果

2. 得た海上風の分布図から、波浪推算地点に影響があると思われる 16 方位ではかった 3 方向について、有義波法、すなわち、沖波に対しては、岩垣—柿沼の方法、浅海では、新しく提案した方法、によって推算した。なお、深海におけるうねりの減衰の推算には、Bretschneider の予知曲線を用いた。

この結果、沖波として卓越波高をもたらす方向は、すべて NNW であった。表-1 に示した波向は、W-1, 2, 3 (図-2) での波浪記録からパワー スペクトル、クロス スペクトルを求め、第 1 ピークの成分波の 3 点での位相差を算定して、そうした成分波の波向を示したものである。この解析では、浅海において、海底摩擦、屈折、浅水効果を一様な海底勾配に対する Bretschneider-Reid の式にもとづいて考慮したが、推算して得た有義波周期 $T_{1/3}$ estimated に対して、等深線が平行な海岸として求めた波浪推算地点での波向は、沖波の波向 NNW より W ~ 7°50' ~ 12°20' (後に示すような 2/3 $T_{1/3}$ estimated に対しては 4°20' ~ 9°20') 傾いているという結果を得た。こうした波向と表-1 における波向とは、比較的よく一致している。

図-6 は、種々の海底摩擦係数 f の値による有義波高の推算値と実測値を比較したものである。また、図-7 は、有義波周期の推算値と実測値とを比較したものであるが、図中には、スペクトルのピーク周期に対するものも描かれている。図-8 は、図-7 からわかるように、有義波周期の推算値が実測値のほぼ 3/2 倍であることに着目し、推算値の 2/3 倍の周期を用いて、種々の f に対

する浅海での有義波高を推算し、実測値と比較したものである。

図-9 は、こうした両者の方法によって得た有義波高の推算値と実測値とが一致する海底摩擦係数 f の値を、従来の観測値⁵⁾とともにプロットしたものである。図-

図-7 有義波周期の推算値と実測値との比較

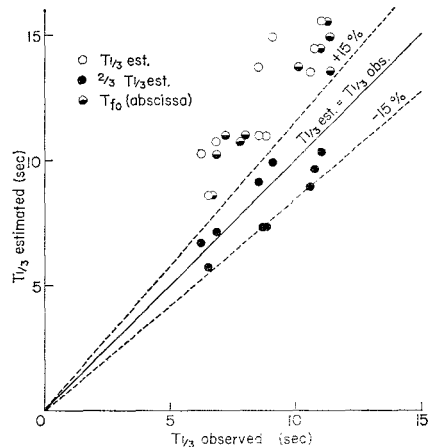


図-8 2/3 $T_{1/3}$ est. を周期として求めた有義波高の推算値と実測値との比較

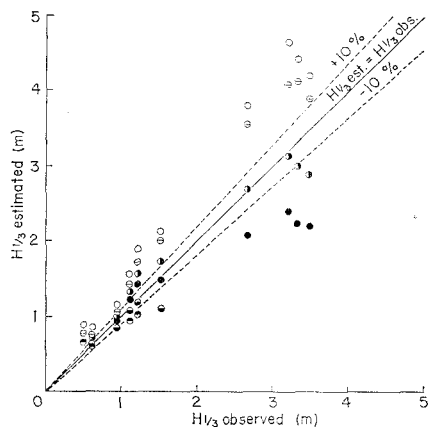


図-6 有義波高の推算値と実測値との比較

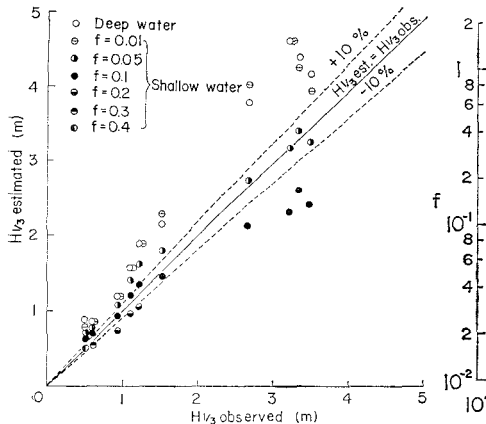


図-9 海底摩擦係数 f と波の Reynolds 数 Re_T との関係

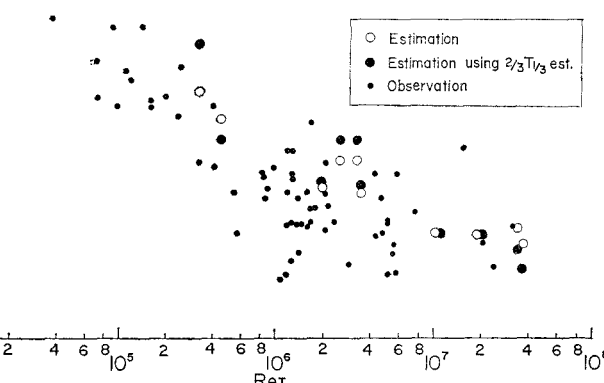


図-10 skewness および kurtosis (資料番号 1~10)

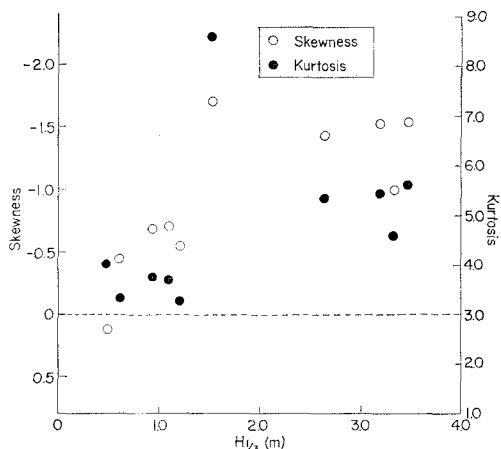


図-9をみると、両者の f の値は大差がなく、しかも、これまで観測によって得た f の値の範囲内にあることがわかる。

図-10は、表-1に示した波浪資料の momental skewness および kurtosis の値（読みとり間隔 1 sec, 記録の長さ 10 min）を、横軸に有義波高 $H_{s/3}$ をとってプロットしたものである。この図をみると、有義波高 1.52 m の資料番号 7 を除けば、この解析に用いた波浪資料は、有義波高の値が小さければ、Gauss 分布に近く、大きいほど Gauss 分布からはずれ、しかも、たいていの資料が負の skewness をもっていることがわかる。

5. 結 語

以上、著者らは、沖波の発達とうねりの深海における減衰の推算法として、それぞれ、岩垣・柿沼の修正

Wilson 法と Bretschneider 法を用い、さらに浅海波の発達の推算法として Bretschneider 法を改良した新しい方法を適用して、大湊海岸における波浪を推算し、実測資料と比較検討した。この場合、いろいろな数値の海底摩擦係数を用いて波高を計算したが、その中で実測値に適合する海底摩擦係数を選び出し、波の Reynolds 数との関係を調べた結果、これまでに観測して得られている両者の関係とほぼ一致することから、それがかなり妥当なものであることがわかった。

しかし、ここで推算した結果は、たいていの場合、波浪推算地点においてうねりとなっているので、今後はさらに適用例を増加させて、浅海における海岸波浪の予知法の合理化と精度向上に努めたいと考えている。

最後に、この研究を進めるにあたり、終始、ご激励、ご指導を賜わった岩垣雄一教授に深く感謝の意を表するとともに、資料の整理や計算に大いに助力を頂いた防災研究所の人見哲夫技官に心から謝意を表する次第である。

参 考 文 献

- 1) Bretschneider, C.L.: Generation of Wind Waves over a Shallow Bottom, Beach Erosion Board, Tech. Memo. No. 51, Oct. 1954, pp. 1-24.
- 2) 岩垣雄一・柿沼忠男：海岸波浪の予知に関する研究（第1報）—伊勢湾台風時における沖波の推算—，京都大学防災研究所年報第5号A（10周年記念号），昭37.3, pp. 284-295.
- 3) 井島武士：海岸・港湾測量，昭35, p. 13.
- 4) 坂本信雄・井島武士・佐藤昭二・青野 尚：浅海における風波の図式計算法，第7回海岸工学講演会講演集，昭35.11, pp. 137-147.
- 5) 岩垣雄一・柿沼忠男：現地海岸の海底摩擦係数について（2），第13回海岸工学講演会講演集，昭41.12, pp. 21-29.